

## 利用超氧化物歧化酶免疫学研究确定东方弧菌 和一些海洋细菌的关系

杨颐康 朱文杰 吴自荣

(华东师范大学生物学系, 上海)

Linda Baumann Paul Baumann

(Department of Bacteriology, University of California, Davis, U.S.A.)

本文报道了应用超氧化物歧化酶 (Superoxide dismutase, SOD) 的免疫学研究(微量补体结合和凝胶双向扩散技术)确定东方弧菌 (*Vibrio orientalis*) 和其他一些海洋细菌间的关系的结果。以从 *V. alginolyticus* 90、*V. splendidus* biotype II 2、*V. fischeri* 61、*V. cholerae* M13 中提取的 SOD 作为抗原制成的血清, 和东方弧菌 715、716、717 菌株的 SOD 进行反应, 测得免疫距离分别为  $6.4 \pm 0.1$ 、 $23.5 \pm 0.2$ 、 $26.0 \pm 0.8$  和  $59.2 \pm 0.4$  IMD。这一结果表明, 东方弧菌虽属于弧菌属, 但不同于弧菌属的其他种。三度空间的模型说明东方弧菌和许多海洋细菌有关, 其中包括常见的 *V. harveyi*、*V. alginolyticus*、*V. parahaemolyticus*、*V. pelagius*、*V. nereis*、*V. campbellii*。最接近的海洋弧菌为菌株 77。

关键词 超氧化物歧化酶; 弧菌属; 海洋细菌; 免疫学

近廿多年来, 在细菌分类学的研究方面进展很大, 引用了许多新的方法, 其中凝胶双向扩散技术<sup>[1]</sup>和微量补体结合技术<sup>[2]</sup>都是免疫学方法。它不仅可用于分类鉴定, 确定各种细菌在进化上的关系, 测定一个菌种突变程度的大小<sup>[3]</sup>, 还可以把菌种或菌株之间的差异提高到定量水平。

通常所用的 DNA/DNA 的体外杂交技术, 可以确定两个菌株整个基因组的相似程度。但由于它有高度的专一性, 所以只应用在分析种内菌株之间, 或亲缘关系相近的种间关系<sup>[4,5]</sup>。为了测定关系较远的种, 必须直接或间接比较分子量较小而保守性更高的基因组部分, 如进行 rRNA/DNA 的杂交, 或应用微量补体结合技术来比较同类蛋白质的氨基酸顺序的差异<sup>[6]</sup>。

1974 年 Champion 等人<sup>[2]</sup>首次全面介绍了微量补体结合技术, 随后 Baumann、Woolkalis、Puget 等人<sup>[7-11]</sup>也用以研究细菌

分类。通过比较各菌种的碱性磷酸化酶 (AP)、谷氨酰胺合成酶 (GS) 和超氧化物歧化酶 (SOD) 等的氨基酸序列的差异, 来确定各菌种之间的亲缘关系。

我们从东海、黄海沿岸分离得到 62 株发光细菌, 根据表型特征和数值分析的结果, 分为五个类群, 鉴定为明亮发光杆菌 (*Photobacterium phosphoreum*)、蝠鱼发光杆菌 (*P. leiognathi*)、哈维氏弧菌 (*Vibrio harveyi*)、美丽弧菌生物型 I (*V. splendidus* biotype I) 以及一个新种东方弧菌 (*V. orientalis*)<sup>[12,13]</sup>。我们从上述 5 种菌和其它 18 种海洋细菌以及一种陆生细菌的代表菌中, 提取了 SOD 作抗原, 选用溶藻酸弧菌 (*V. alginolyticus* 90)、美丽弧菌生物型 II (*V. splendidus* II 2)、费氏弧菌 (*V. fischeri* 61)、霍乱弧菌 (*V. cholerae* M13) 和蝠鱼

本文于 1984 年 3 月 7 日收到。

发光杆菌 (*P. leiognathi* 480) 中提纯的 SOD 制成抗体, 进行凝胶双向扩散实验和微量补体结合实验, 以确定东方弧菌与其它一些海洋细菌之间的关系。

## 材料和方法

### (一) 抗原 SOD 的提取

细菌接种于发光培养基中<sup>[1]</sup>, 20℃下振荡培养 12 小时, 3,000 rpm 离心 10 分钟, 然后用超声波破坏细菌胞壁, 用 1% 链霉素硫酸盐沉淀核酸, 再分别用 50% 和 80% 饱和硫酸铵沉淀蛋白质。第二次的沉淀物用 5mM K<sub>2</sub>HPO<sub>4</sub> (pH7.8) 缓冲液溶解, 在同样浓度的缓冲液中透析。在测得 SOD 的活性单位后<sup>[1]</sup>, 分别装瓶, 储存于 -80℃ 的冰箱中。本实验共用 27 种抗原, 其中包括 *V. orientalis* 715、716、717、718; *P. leiognathi* 691; *P. phosphoreum* 659; *V. harveyi* 703; *V. splendidus* 1714 等的 SOD。

### (二) 抗血清的制备

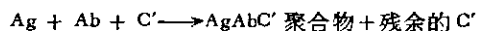
1. 从 *V. alginolyticus* 90、*V. splendidus* II2、*V. cholerae* M13、*V. fischeri* 61、*P. leiognathi* 480 中提取 SOD, 根据 Puget 和 Michelsen<sup>[14]</sup> 的方法进行纯化。

2. 分别给三只雄性新西兰白兔注射纯 SOD, 每只注射 5 次, 每次 1 mg。抗体形成后, 制成抗血清。

各抗血清和同源抗原反应时, 补体结合为 75% 时所得的滴度和通过该点直线的斜率列入表 1。

### (三) 微量补体结合实验

定量的微量补体结合实验按 Champion 等的方法进行。反应过程如下:



残余的 C' + SRBC → 溶解的红细胞

同源和异源抗原都使用四个浓度, 二倍法稀释, 分别与 3—6 个浓度的抗血清反应, 使 30—80% 的补体在反应平衡时结合。反应在 0℃ 下进行。反应完全后, 各反应管中加敏感绵羊红细胞, 在 35℃ 下反应。然后用比色法测定各管血红素的浓度。计算各管补体结合的百分数。免疫距离 ImD 和斜率 M 按 Champion<sup>[1]</sup> 等人的公式计

表 1 用于实验的抗血清的滴度和平均斜率  
Table 1 Summary of the titers of reference anti-serum and average slope values in experiments

参考菌株 Reference strain	滴 度 Titer	斜率±标准误差 Slope±SD
<i>V. alginolyticus</i> 90	1/13,000	254±64
<i>V. splendidus</i> II2	1/37,000	276±55
<i>V. fischeri</i> 61	1/14,000	288±53
<i>V. cholerae</i> M13	1/25,000	286±52
<i>P. leiognathi</i> 480	1/8,400	261±52

算:

$$ImD = 100 \times \log (\text{异源血清滴度} / \text{同源血清滴度})$$

$$M = \frac{\text{补体结合的百分数}}{\log \text{抗血清浓度}}$$

1 ImD<sup>[1]</sup> 相当于蛋白质分子上 0.2% 的氨基酸序列的变化。

### (四) 凝胶双向扩散实验

凝胶平板成份为: 10mM K<sub>2</sub>HPO<sub>4</sub> (pH7.8), 1% 琼脂, 0.58% NaCl 和 0.02% Ethylmercurithiosalicylate。平板上的洞距 4 mm。每个洞内注入 20 μl 的抗原或抗血清。抗原抗血清反应后, 两个邻近的抗原和抗血清之间的沉淀线完全融合者, 标为“=”, 说明两个抗原的决定因子是一致的或明显一致; 如一抗原的沉淀线有距而邻近的另一抗原没有距, 则说明前者的抗原决定因子多于后者, 标为“↑”, 箭头指向有距的一个抗原; 结果沉淀线形成双距, 标为“×”, 说明两个抗原部分不一致或完全不同。

## 结 果

### (一) 微量补体结合实验

结果列入表 2 和图 1—4。以东方弧菌菌株 715、716、717 的 SOD 为抗原与抗 *V. alginolyticus*、抗 *V. splendidus*、抗 *V. fischeri* 和抗 *V. cholerae* 血清进行反应, 平均结果

Ag = 抗原, Ab = 抗体, C' = 补体, SRBC = 敏感绵羊红细胞, ImD = 免疫距离, M = 斜率。

表2 东方弧菌菌株715、716、717的微量补体结合实验结果(数据用ImD值表示)

Table 2 Results of the microcomplement fixation studies of *V. orientalis*  
715, 716, 717 expressed as ImD units

抗血清 Antiserum to the SOD of	菌株 Strain			平均数和标准差 Average and standard deviation
	715	716	717	
<i>V. alginolyticus</i>	6.4	6.4	6.5	6.4±0.1
<i>V. splendidus</i>	23.4	23.8	23.4	23.5±0.2
<i>V. fischeri</i>	27.3	23.6	26.7	26.0±0.8
<i>V. cholerae</i>	59.0	59.6	59.0	59.2±0.4

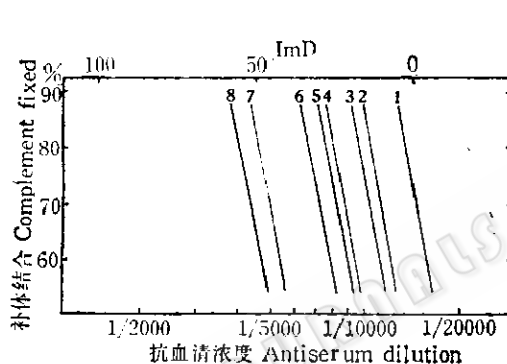


图1 用抗 *V. fischeri* 血清与各种抗原反应,在反应平衡时补体结合的百分数与抗血清浓度作图

Fig. 1 Relation of % complement fixed at equivalence to the log of the antiserum dilution. Experiments were performed with antiserum to the SOD from *V. fischeri*

- |                               |                              |
|-------------------------------|------------------------------|
| 1. <i>V. fischeri</i> 61      | 2. <i>V. splendidus</i> II 2 |
| 3. <i>V. alginolyticus</i> 90 | 4. Strain 77                 |
| 5. <i>V. orientalis</i>       | 6. <i>V. fluvialis</i> I 606 |
| 7. <i>V. cholerae</i> M13     | 8. <i>V. gasogenes</i>       |

(以ImD表示)分别为  $6.4 \pm 0.1$ 、 $23.5 \pm 0.2$ 、 $26.0 \pm 0.8$ 、 $59.2 \pm 0.4$ 。

根据东方弧菌和各菌种之间的免疫距离,绘制出一个三度空间模型图(见图5)来表示东方弧菌和其他一些海洋细菌之间的亲缘关系。

## (二) 凝胶双向扩散实验

用抗 *V. splendidus*、抗 *V. alginolyticus*、

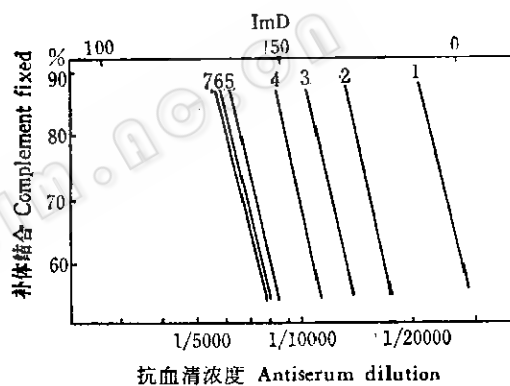


图2 用抗 *V. cholerae* M13 血清与各种抗原反应,在反应平衡时的补体结合百分数与血清浓度作图

Fig. 2 Relation of % complement fixed at equivalence to the log of the antiserum dilution. Experiments were performed with antiserum to the SOD from *V. cholerae* M13

- |                              |                                      |
|------------------------------|--------------------------------------|
| 1. <i>V. cholerae</i> M13    | 2. <i>V. metschnikovii</i>           |
| 3. <i>V. splendidus</i> II 2 | 4. <i>V. alginolyticus</i> 90        |
| 5. <i>V. logei</i> 586       | 6. <i>V. orientalis</i> 7. Strain 77 |

抗 *P. leiognathi* 血清与 25 株海洋细菌和陆生细菌中提取的 SOD 进行反应,结果列入图 6—8。

从东海、黄海沿岸分离得到的东方弧菌菌株 715 和 718、哈维氏弧菌菌株 703、美丽弧菌生物型 I 菌株 714 可划归弧菌属,而辐鱼发光杆菌菌株 691、明亮发光杆菌菌株 659 则可划归发光杆菌属。

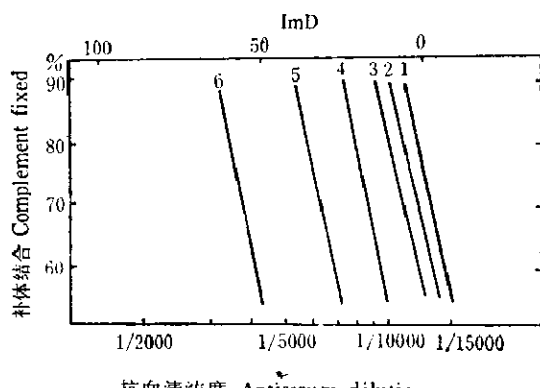


图3 用抗 *V. alginolyticus* 血清与各种抗原反应,在反应平衡时补体结合的百分数与抗血清浓度作图

Fig. 3 Relation of % complement fixed at equivalence to the log of the antiserum dilution. Experiments were performed with antiserum to the SOD from *V. alginolyticus* 90

1. *V. alginolyticus* 90
2. *V. orientalis*
3. Strain 77
4. *V. fluvialis* I 606
5. *V. splendidus* 12
6. *V. cholerae* M13

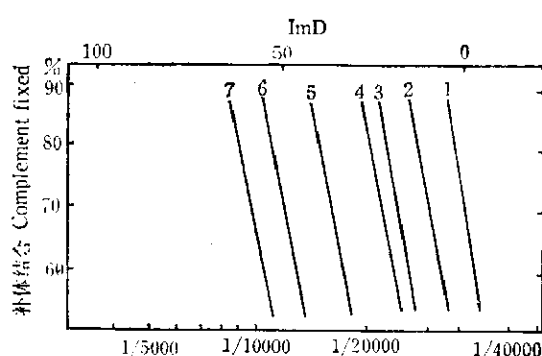


图4 用抗 *V. splendidus* 血清与各种抗原反应,在反应平衡时补体结合的百分数与抗血清浓度作图

Fig. 4 Relation of % complement fixed at equivalence to the log of the antiserum dilution. Experiments were performed with antiserum to the SOD from *V. splendidus*

1. *V. splendidus* II2
2. *V. fisheri* 61
3. Strain 77
4. *V. orientalis*
5. *V. nigripulchritudo* 164
6. *V. cholerae* M13
7. *V. gazogenes*

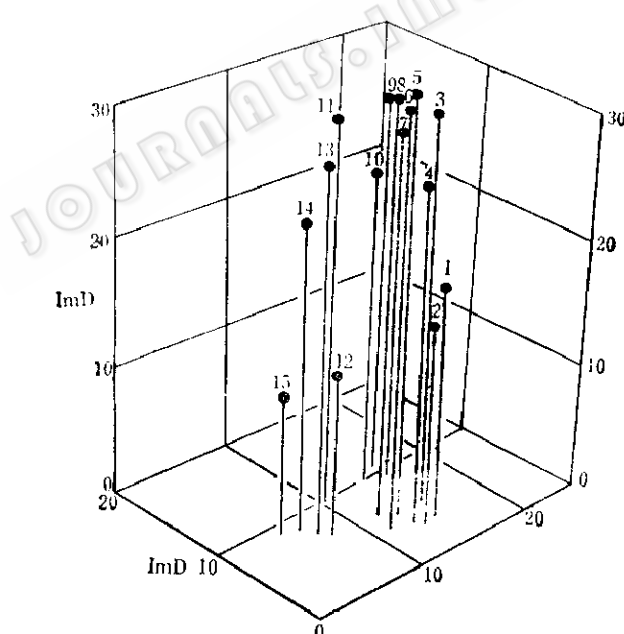


图5 三度空间模型表示东方弧菌与弧菌属其他菌种之间的免疫距离

Fig. 5 Schematic three dimensional representation of the immunological distances of SODs from *V. orientalis* and closely related species and strains of *Vibrio*

1. *V. fluvialis* I
2. *V. fluvialis* II
3. Strain 84, 85
4. *V. proteolyticus*
5. *V. parahaemolyticus*
6. *V. alginolyticus*
7. *V. natriegens*
8. *V. harveyi*
9. *V. campbellii*
10. *V. nereis*
11. Strain 76, 142, 143
12. *V. pelagius* I
13. *V. orientalis*
14. Strain 77
15. *V. pelagius* II

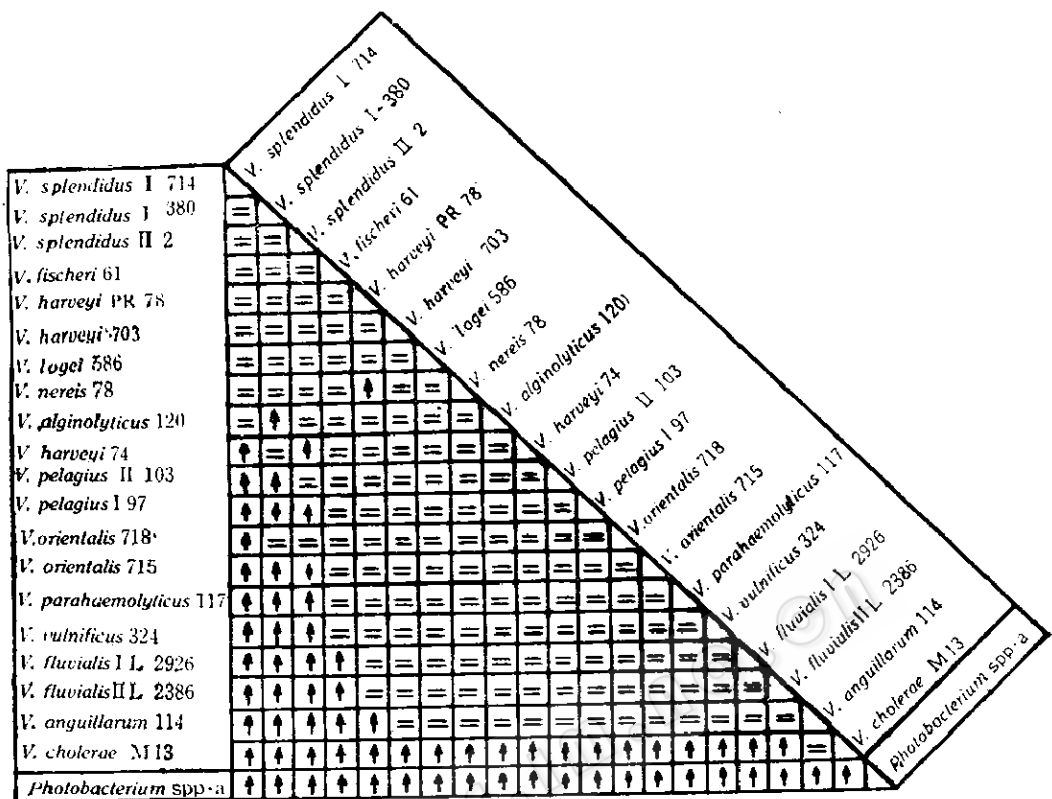
图 6 抗 *V. splendidus* 血清与弧菌属、发光杆菌属的各菌种的 SOD 进行凝胶双向扩散实验的结果

Fig. 6 Summary of the results of Ouchterlony double diffusion experiments with antiserum to the SOD from *V. splendidus*.

a: *P. leiognathi* 691, *P. leiognathi* 477, *P. angustum* 67, *P. phosphoreum* 455, *P. phosphoreum* 659

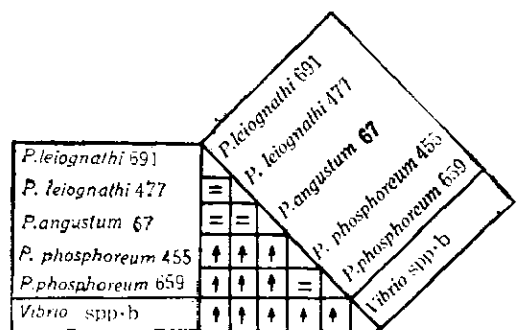
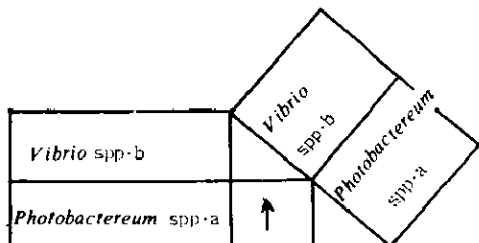
图 7 抗 *P. leiognathi* 480 SOD 血清与弧菌属、发光杆菌属的各菌种 SOD 进行凝胶双向扩散实验的结果

Fig. 7 Summary of the results of Ouchterlony double diffusion experiments with antiserum to the SOD from *P. leiognathi*

b: 表示在图 6 中所出现的所有弧菌

b: All the species of *Vibrio* listed in Fig. 6

图 8 抗 *V. alginolyticus* 90 SOD 血清与弧菌属、发光

杆菌属各菌种的 SOD 进行凝胶双向扩散实验的结果

Fig. 8 Summary of the results of Ouchterlony double diffusion experiments with antiserum to the SOD from *V. alginolyticus*

## 讨 论

用抗 *V. alginolyticus*、抗 *V. splendidus*、抗 *V. fischeri*、抗 *V. cholerae* 四种血清与东方弧菌 715、716、717 菌株的 SOD 反应，以确定相互间的免疫距离。三株菌的 ImD 平均值分别为  $6.4 \pm 0.1$ 、 $23.5 \pm 0.2$ 、 $26.0 \pm 0.8$ 、 $59.2 \pm 0.4$ 。和以往的弧菌属各种的免疫学研究的结果相比较，可以确定东方弧菌属于弧菌属并且是一个新种。它的补体结合的斜线不与任何其他菌种的斜线重叠。这也和以前表型特征的研究结果是一致的<sup>[13]</sup>。根据各种之间的免疫距离所绘制的三度空间的模型表明，东方弧菌和许多海洋弧菌较接近（包括一些常见的种，如：*V. harveyi*、*V. alginolyticus*、*V. parahaemolyticus*、*V. pelagius*、*V. nereis* 和 *V. campbellii* 等）。它最接近的海洋弧菌是菌株 77，两者都具有精氨酸双水解酶系统。

根据凝胶双向扩散实验的结果表明，尽管用了三种不同的抗血清，仍然把东方弧菌、哈维氏弧菌、美丽弧菌生物型 I 划分到弧菌属，而把明亮发光杆菌、鮕鱼发光杆菌划分到发光杆菌属，并且可区别到种。这一结果和过去表型特征的研究也是一致

的。

## 参 考 文 献

- [1] Munoz, J.: Methods of Immunology and Immunochemistry (by Williams, C. A. et al.) Vol. 3 Academic Press, New York, pp. 146—160, 1971.
- [2] Champion, A. B. et al.: In Biochemical and Immunological Taxonomy of Animals. (ed. C. A. Wright) Academic Press, New York, pp. 397—416, 1974.
- [3] Kustus, S. G. et al.: *J. of Bacteriology*, **122**: 1006—1016, 1975.
- [4] Baumann, L. et al.: *Archives of Microbiology*, **119**: 25—30, 1978.
- [5] Baumann, P. and L. Baumann: *Annual Review of Microbiology*, **31**: 39—61, 1977.
- [6] Wilson, A. C. et al.: *Annual Review of Biochemistry*, **46**: 573—639, 1977.
- [7] Bang, S. S. et al.: *Archives of Microbiology*, **130**: 111—120, 1981.
- [8] Baumann, L. et al.: *Current Microbiology*, **4**: 133—138, 1980.
- [9] Baumann, L. et al.: *ibid.*, **3**: 191—196, 1980.
- [10] Baumann, P. et al.: *Annual Review of Microbiology*, **37**: 369—398, 1983.
- [11] Puget, K. et al.: Superoxide and Superoxide Dismutases. (ed. Michelson, A. M. et al.) Academic Press, London, pp. 139—150, 1977.
- [12] 杨颐康等: 上海师范大学学报, **3**: 89—92, 1980。
- [13] Yand, Y. et al.: *Current Microbiology*, **8**: 95—100, 1983.
- [14] Puget, K. et al.: *Biochimie*, **56**: 1255—1267, 1974.

## THE APPLICATION OF IMMUNOLOGICAL STUDIES OF SUPEROXIDE DISMUTASE IN DETERMINING THE RELATIONSHIPS BETWEEN *VIBRIO ORIENTALIS* AND SOME MARINE BACTERIA

Yang Yikong Zhu Wenjie Wu Zirong

(*East China Normal University, Shanghai*)

Linda Baumann Paul Baumann

(*University of California, Davis Campus, U. S. A.*)

Using antiserum to SOD from *V. alginolyticus* 90, *V. splendidus* biotype II2, *V. fischeri* 61 and *V. cholerae* M13, we have determined immunological distance of strains 715, 716 and 717 of *V. orientalis* by microcomplement fixation technique. The combined results for all the three strains (expressed as mean  $\pm$  standard deviation) were  $6.4 \pm 0.1$ ,  $23.5 \pm 0.2$ ,  $26.0 \pm 0.8$  and  $59.2 \pm 0.4$  ImD units, respectively. The results indicated that *V. orientalis* is different from other species in genus *Vibrio*. A three dimensional model was presented. It represents these results covering only those species and strains of *Vibrio*

with an SOD similar to the enzymes from *V. orientalis*. According to the characteristics of its SOD, *V. orientalis* is closely related to the relatively large group of primarily marine *Vibrio* species which includes such common species as *V. harveyi*, *V. alginolyticus*, *V. parahaemolyticus*, *V. pelagius*, *V. nereis* and *V. campbellii*. Its nearest neighbour is strain 77. Both *V. orientalis* and strain 77 have an arginine dihydrolase system.

### Key words

Superoxide dismutase; *Vibrio*; Marine bacteria; Immunology